

615
Г-61

WFS

Г-611

Головин Б.М.

О перспективах исследований полупроводниковых
свойств соединений группы сернистого
кадмия.

ОБЪЕДИНЕННЫЙ ИНСТИТУТ ЯДЕРНЫХ ИССЛЕДОВАНИЙ,
ЛАБОРАТОРИЯ ЯДЕРНЫХ ПРОБЛЕМ

В.М. Головин.

"О ПЕРСПЕКТИВАХ ИССЛЕДОВАНИЯ ПОЛУПРОВОДНИКОВЫХ
СВОЙСТВ СОСТАВЛЕНИЯ ГРУППЫ СЕРНИСТОГО КАРБИДА".

ОБЪЕДИНЕННЫЙ ИНСТИТУТ
ЯДЕРНЫХ ИССЛЕДОВАНИЙ
ЛАБОРАТОРИЯ ЯДЕРНЫХ ПРОБЛЕМ

- Москва, 1957 год -

Группа сернистого кадмия состоит из шести соединений: сульфида, селенида и теллурида цинка и кадмия. Из них теллурид цинка известен лишь как дырочный проводник, а у остальных до последнего времени удавалось получить лишь электронную проводимость. В 1954 г. Джени и Бубе ^{/ 1 /} получили образцы Co_3Te как с электронной, так и с дырочной проводимостью, а согласно последним сообщениям ^{/ 2 /} р-п переходы удалось создать также в поликристаллических слоях Co_3S . Известно ^{/ 1,3 /}, что для полупроводников рассматриваемой группы введение активаторов II и III групп периодической системы элементов приводит к появление электронной проводимости, а введение активаторов I и V группы - создает дырочную проводимость.

Основные характеристики соединений группы сернистого кадмия приведены в таблице I.

Все эти соединения в чистом виде имеют высокие темновые сопротивления ($10^9 - 10^{12}$ ом-см) и слабую фоточувствительность. Введение в их кристаллические решетки даже очень малых количеств посторонних веществ может приводить к резкому изменению как темнового сопротивления, так и фоточувствительности ^{/ 4 /}, а в некоторых случаях оказывать существенное влияние и на спектральные характеристики ^{/ 5 /}. Введение кислорода, неизвестному, может оказывать различное действие на эти соединения, приводя в общем случае, к уменьшению темнового сопротивления и, в зависимости от обработки, либо к

Таблица В I

Основные характеристики соединений группы

Т _{плавл.} °С	Ширина запрещ. энергии	Работа выхода электрона eV	Подвижность см ² /вольт·сек	Время жизни носителей сек			
				μ_n	μ_p	τ_n	τ_p
CdS	1750 при 100 атм	2,1-2,4	4,2	200		(10 ⁻⁶ -10 ⁻³)	(10 ⁻⁷ -10 ⁻³)
ZnS	1850 при 150 атм.	3,64	(4,2)	120			
CdSe	>1350	1,74		(200)		(10 ⁶ -10 ⁻³)	
ZnSe		2,58-2,66					
ZnTe	1238,5	2,15					
CdTe	1041	1,45	(3,8-4,0)	300	30		

Цифры в скобках означают, что соответствующие величины оценены косвенно и с малой точностью.

увеличению, либо к уменьшению фоточувствительности. Увеличение фоточувствительности поликристаллических слоев сульфида кадмия при кратковременном прогреве их в атмосфере, содержащей кислород, было обнаружено в частности Б.Т.Коломийцем /6/, предполагающим, что этот эффект связан с появлением хорошо проводящих переключек окиси кадмия между отдельными фотопроводящими зернами сульфида. Картина подобного типа наблюдается, повидимому, и при кислородной обработке селенида кадмия.

В целом можно сказать, что введение соответствующего набора активаторов позволяет в широких пределах перемещать положение максимума чувствительности рассматриваемых соединений и, в некоторых случаях, даже получить постоянную чувствительность во всей видимой части спектра /5/. Временные свойства фотопроводимости в рассматриваемых соединениях могут меняться в широких пределах и зависят (для данного фотопроводника) как от способа его изготовления, так и от интенсивности возбуждающего света /3,7/. При этом время спада фотопроводимости меняется от долей микросекунд в малочувствительных неактивированных кристаллах до секунд в активированных порошках с высокой чувствительностью. Скорость реакции селенида кадмия в общем больше, чем у сульфида. Временные свойства теллуридов сих пор изучены недостаточно. В ряде работ отмечалось, что инерционность поликристаллических слоев может быть сильно снижена в результате кратковременного прогрева их в кислородо-содержащей атмосфере. Этот эффект, повидимому, также связан с образованием хорошо проводящих переключек окиси между фотопроводящими зернами рассматриваемых соединений.

Фотовольтический эффект. В том случае, когда лишь один из нанесенных на полупроводник контактов является омическим может наблюдаться выпрямляющее действие такой системы и, при освещении, появление на контактах некоторой разности потенциалов.

Оба эти эффекта наблюдались на сернистом кадмии^{18/} (как дляmono-, так и для поликристаллов). Выпрямляющее действие точечных контактов было обнаружено также на монокристаллах $\text{CdTe}^{[1]}$. В наших опытах было получено выпрямительное действие электролюминифорного порошка ZnS : Cu , закатого между медным электродом и нанесенным на стекло слоем SiO_2 . Следует отметить, что применение таких выпрямляющих элементов в качестве фотосопротивлений^{19/} позволяет получить значительно большую чувствительность, чем при работе с тем же фотопроводником при омических контактах. В упоминавшихся уже опытах с сернистым цинком мы наблюдали увеличение чувствительности в 50 раз при переходе к работе в фотодиодном режиме.

Сравнение различных фотопроводниковых элементов. Основные сведения о некоторых полупроводниковых фотоэлементах и фотосопротивлениях приведены в таблице 2. Из приведенных данных видно, что при использовании материалов группы сернистого кадмия удается получить фоточувствительные устройства, пригодные для работы с разными частями оптического спектра при чувствительности, приближающейся к чувствительности современных фотумножителей.

Таблица № 2

Основные характеристики некоторых фотоэлементов.

Тип Фотоэлемента	Область чувствительности	Длина волны, соотв. макс. чувствительности	Интеграль- ная чувст- вительность	Инерционность (макс.часто- тта модуляц. ме- дии света)
Ag_2S	Видимый свет, близкий ИК	0,8-0,9 μ	6-7 ма/лм	5-10 герц 10^{-10}
PbS	Видимый, ИК	2-3 μ	10 ма/лм	6-10 кГц не из
Bi-S	Видимый, близкий ИК	0,7 μ	80 ма/лм	$0,1-$ $0,4$ кГц не из
Ge -фото- диод	Видимый, ИК	1,5 μ	20-30 ма/лм	не из
CdS поликри- сталлический слой	Видимый, близкий ИК	0,6-0,8 μ	2 а/лм	$10-10^3$ герц не огр
CdSe:ZnSe поликристал- лический слой	Видимый, ИК	В зависим. от концентрации компонент не- ремещ. по все- му видим. спек.	2 а/лм	не огр
CdTe -моно- кристалл	Видимый, ИК	Около 1 μ	до 0,5 а/лм	
CdS моно- кристалл	Видимый, близкий ИК	Около 0,5 μ	до 10 а/лм	$10-10^3$ герц не из
CdSe моно- кристалл	0,6-0,8 μ	0,7 μ	100 а/лм	$10-10^2$ герц
Вакуумный Фотоэлемент	Различные типы пере- крывают весь спектр от УФ до близк.ИК		до 50-100 мкв/лм	
Вакуумный Фотоумно- житель	-"		$10-10^3$ а/лм	Практич. до 10^8-10^9 Гц 7.

Значительное внимание при исследовании свойств полупроводников в настоящее время уделяется вопросу о возбуждении их проводимости с помощью радиации разных типов (рентгеновские лучи, γ -кванты, электроны и β -частицы, протоны, α -частицы) /10/. Из рассматриваемых соединений опыты большей частью проводились с сульфидом кадмия и показали, что монокристаллы этого вещества могут быть успешно использованы в качестве кристаллических счетчиков. К настоящему времени имеется уже ряд конструкций гамма-дозиметров из этого вещества /11/. Широкому применению таких счетчиков в физических исследованиях препятствует трудность получения монокристаллов CdS достаточно больших размеров и малая амплитуда импульса при работе с "быстрыми" кристаллами.

Электролюминесценция /12, 13/. Это явление представляется собой непосредственное возбуждение свечения некоторых люминофоров электрическим полем. Наибольшее число работ по изучению этого эффекта было выполнено с порошками и монокристаллами люминофоров типа $\text{ZnS} : \text{Cu} (\text{Pb}, \text{Cl})$; $\text{ZnS} : \text{Mn} (\text{Pb}, \text{Cl})$; $\text{ZnS} : \text{Cu} (\text{ZnS ZnSe} : \text{Cu} (\text{Cl}))$, однако есть сведения и о наблюдениях электролюминесценции в ряде других неорганических и в некоторых органических соединениях.

При теоретическом рассмотрении электролюминесценции обычно выделяют три типа этого явления:

а) внутренняя электролюминесценция - наблюдается обычно на взвешенных в диэлектрике порошках, реже на монокристаллах и сублимированных пленках, главным образом при отсутствии непосредственных контактов между люминофором и электродами;

б) электролюминесценция при впрыскивании носителей зарядов - возникает при наличии непосредственного контакта частиц люминофора с электродами, что обеспечивает возможность перехода носителей из электродов в люминесцирующие зерна. Этот тип электролюминесценции является, повидимому, основным также при возбуждении электролюминесцентных слоев с р-п переходами;

в) электрофотolumинесценция - имеет место при одновременном действии на люминофор света и электрического поля (иногда предварительное возбуждение светом и последующее действие поля). Объекты такого типа наблюдались на порошках монокристаллах и сублимированных пленках. При этом, в некоторых случаях, число квантов, испущенных электролюминофором в несколько раз превышало число квантов, упавших на него.

Как правило, кристаллолюминофоры приобретают свойства электролюминофоров при введении активаторов в значительно больших количествах, чем это необходимо для изготовления фотопроводника или катодолюминофора.

В настоящее время электролюминесцентные приборы не вышли еще из стадии лабораторной разработки, но в будущем они, вероятно, смогут найти применения в качестве источников света специального назначения, усилителей яркости, приборов "памяти" и т.д. Широкому их применению в качестве осветительных устройств общего пользования в настоящее время препятствует их низкий световой выход (см.табл.5), но есть основания надеяться, что разработка электролюминесцентных конденсаторов с

Таблица № 3.

световые выходы некоторых источников света

Источник света	Электролюминофорный конденсатор	Лампа накаливания	Лампы дневного света
Световой выход	4 + 5 лм/вт	16 лм/вт	65 лм/вт

прозрачными слоями (взамен порошка с диэлектриком) и использование р-и-п переходов в таких слоях, позволяет получить большую светоотдачу и избавиться от падения яркости такого устройства при его длительной работе.

Кратко остановимся на методах приготовления фотопроводниковых элементов и электролюминофорных конденсаторов из рассматриваемых соединений.

Монокристаллы / 1,2 / - получают обычно при реакции паров кальция и цинка с сероводородом или селенистым водородом, паров цинка или кальция сарами селена или таллура с последующей кристаллизацией из газовой фазы, либо при получении CdTe , сплавлением кальция и таллура и последующим медленным охлаждением. Активирующие добавки обычно вводятся в уже выращенные монокристаллы насыщением соответствующих веществ на поверхность кристалла и последующим его прогревом в инертной атмосфере / 4 /.

Порошковые слои / 14 / получают на основе основных соединений изготавляемых по технологии, применяемой при производстве люмфоров. Активирующие добавки вводятся при последующем прогреве смеси основного вещества с плавниками (до нескольких процентов) активаторами (обычно несколько сотых процента) в инертной атмосфере. Фоточувствительные элементы из порошков приготавливают двумя путями:

Слой со связывающими веществами - изготавливается из смеси активированного фотопроводящего порошка со связывающими органическими веществами. Такая смесь наносится на нужную поверхность и дает затвердеть.

Спеченный слой. Основное вещество (не активированное) в смеси

с активаторами и плавнями взвешивают в воде, осаждают на рабочую поверхность и высушивают. Затем сухой слой нагревают до температуры, при которой происходит активация порошка и образуется спеченный поликристаллический слой.

Сублимированные слои /15/ получают в результате осаждения паров основного вещества на рабочую поверхность. Активирующие добавки при этом могут либо испаряться одновременно с основным веществом, либо наноситься на поверхность готового слоя и вводится в него путем диффузии при нагреве в инертной атмосфере.

Слои Кусано /16/. Очень интересным способом получения тонких полупроводниковых слоев является предложенный Кусано и Студером метод их получения из паровой фазы. Согласно этому методу слои активированного сернистого цинка получались при совместном взрывном испарении цинка и активирующего материала ($MnCl_2$; $CuCl_2$; MoO_3 ; P) в атмосфере сероводорода, протекавшего через испарительный сосуд при давлении один миллиметр урт./тного столба. Полученные Кусано слои обладали очень высокой однородностью, что позволило автору избавиться от гало вокруг электронного пятна при использовании их в качестве катодолюминесфоров. Такие слои выдерживали напряженности до 10^5 в/см и обладали фотозелектролюминесцентными свойствами с квантовым выходом до 10 вторичных фотонов на 1 первый /17/. Кроме того, эти слои имели довольно высокую фоточувствительность, доходящую до 0,1-0,5 амп/лм, что является, повидимому, рекордной величиной для приборов, работающих в области близкого ультрафиолета.

($\lambda = 3650 \text{ \AA}$). Если учесть, что метод Кусано позволяет произвольным образом варьировать по толщине образца концентрацию и состав активаторов, то станет ясной большая важность и перспективность дальнейшего развития этого метода и исследование возможности получения с его помощью других полупроводящих слоев.

Электроды. На полученный тем или иным способом монокристалл или слой фотопроводящего или электролюминесцирующего материала электроды, в зависимости от условий эксплуатации изготавляемого прибора, могут быть нанесены различными способами. В качестве таких электродов часто используется напыление или химически осаждение слои металла, металлические сетки, или прозрачные слои двуокиси олова /18/ или титана нанесенные на стеклянные подложки.

Значительное большее внимание материалу контактов приходится уделять в том случае, когда по условиям опыта существенно создание контактов определенного типа: омических или выпрямляющих. Как известно /20/, для получения омических контактов необходимо, чтобы работа выхода электронов из металла /21/, находящегося в контакте с полупроводником была ниже, чем у полупроводника. Для создания выпрямляющих контактов должно быть выполнено обратное требование. В настоящее время омические контакты для всех полупроводников этого типа обычно изготавливают из галлия или индия, а в качестве выпрямляющих контактов могут быть применены многие металлы /22/, часть из которых приведена в таблице 4. Следует помнить, что все сказанное относится к полупроводникам с электронной

Таблица № 4

Омические и выпрямляющие контакты

Полупроводник	$\frac{2ds}{n}$	$\frac{CdTe}{n\text{-пров.р-пр.п}}$
Металл	да	In
Работа выхода	3,6	3-4
φ_{ev}		
Металл	Au Cu Pt W Zr Al Pb Sb Ga Cd	
Работа выхода	4,58 4,47 5,29 4,5 $\frac{3,84}{4-15}$	4,25 4,02 4,08 3,6 4,
φ_{ev}		

проводимостью. Для полупроводников с дырочной проводимостью все условия будут противоположны.

Усилители яркости. За последние годы значительное внимание уделяется опыту по созданию приборов для усиления ярких изображений. В настоящее время описаны приборы двух типов, пригодные для решения этой задачи.

Первый из них - однослоистый усилитель яркости /17, 19, 23/ основан на использовании эффекта электрофотолюминесценции в слоях типа Кусано. Он представляет собой тонкий слой серебристого цинка, активированного марганцем, осажденного на проводящий слой двуокиси титана на стекле. Вторым электродом служит напесенный испарением тонкий слой алюминия. При подаче на такой элемент напряжения, соответствующего градиенту поля в нем около 10^5 вольт/см при отсутствии светового возбуждения, электролюминесценция почти отсутствует. Однако, при одновременном возбуждении люминофора светом с длиной волны 3650 Å наблюдалось желтое свечение (новидимому линии марганца) с выходом до 10 квантов на 1 квант возбуждающего света.

Второй тип усилителей яркости - многослойный усилитель /23, 2/ представляет собой по существу последовательно включенные фотопроводник и электролюминофорный конденсатор. В темноте сопротивление фотопроводника много больше чем электрод люминофора и напряжение на последнем очень мало. При засветке фотопроводника его сопротивление падает. Напряжение на электролюминофоре возрастает и он начинает светиться. При соответствующих условиях яркость синечки электролюминофора может во много раз превышать яркость возбуждающего света. Некоторые характеристики современных усилителей яркости обоих типов приведены в таблице 5.

Таблица № 5
Характеристики полупроводниковых усилителей
яркости.

типа усилителя яркости	Однослоиний	Многослойный
чувствителен к	У _х	Видимый, ИК, рентг
макс. усиление по энергии свет γ-лучи	< 1	> 100
время спада свечения	секунды	секунды
достигнутые размеры	4" ≈ 10,0 см	12" ≈ 30,0 см
возможность последовательного соединения	нет	возможно
возможность получения обратной связи	нет	возможно в любо степени, вплоть до стабильных у- ровней.

ПЕРСПЕКТИВЫ.

Соединение группы сернистого кальция в настоящее время довольно широко применяется для изготовления катодов и электролюминесцентных экранов, фотосопротивлений или фотоватических элементов. В Советском Союзе работы ведутся, в основном, в направлении исследования свойств порошковых слоев и монокристаллов. Сублимированные слои не вышли из лабораторий, а никаких-либо сообщений о работах со слоями типа Кусано в нашей литературе не имеется. Между тем дальнейшая разработка этой методики, повидимому, позволит получить новые интересные как научные, так и прикладные результаты.

Ниже кратко рассмотрены некоторые, в основном, прикладные задачи, могущие решаться с помощью метода Кусано.

1. Фотосопротивления и электролюминифоры.

а) На основе сульфида цинка. Слои, исследованные Кусано, относятся именно к этой группе веществ. Из приведенных работе^{17/} крикн можно заключить, что однослойный усиитель яркости Кусано является в то же время и очень эффективным фотосопротивлением, чувствительность которого к излучению, как уже указывалось, достигала небывалой для этой части спектра величины. Можно надеяться, что при подборе оптимального, с точки зрения фотопроводимости, соотношения активаторов удастся, с помощью этой методики, получить еще более эффективные фотосопротивления для регистрации ультрафиолета.

б) На основе сульфида кадмия. Из таблицы 2 видно, что наибольшей чувствительностью обладают фотосопротивления из монокристаллов сернистого и селенистого кадмия. Однако способы получения монокристаллов большого размера еще не найдены. Фотосопротивления на основе порошковых слоев чувствительность получается меньшей и трудно добиться высокой однородности рабочей поверхности. Тот факт, что слои Кусано способны выдерживать чрезвычайно большие напряженности поля, повидимому, свидетельствует об очень высокой их однородности, что в свою очередь может явиться указанием на наличие значительной упорядоченности в их структуре. Поэтому, можно надеяться на получение этим способом фотосопротивлений из сульфида кадмия с чувствительностью еще большей, чем указано в таблице I при одинаковой однородности чувствительного слоя и со свойствами, близкими к свойствам монокристаллов. При этом слои могут быть, повидимому, получены как с омическими, так и с выпрямляющими контактами.

в) На основе селенида кадмия. По литературным данным порошковые фотосопротивления из этого вещества имеют чувствительность, сходную или более высокую чем сопротивления из Cd_2S и имеют более короткое время реакции. Что касается монокристаллов^{/25/}, то полученная чувствительность является рекордной для фотосопротивлений и приближается к чувствительности фотоумножителей. Поэтому следует ожидать, что тонкие слои селенида кадмия, полученные по методу Кусано позволят разработать еще более чувствительные фотосопротивления для видимой и ИК-частей спектра. Такие фотосопротивления в некоторых слу-

чаях смогут успешно конкурировать с фотоумножителями.

Г) На основе сложных систем ZnS:CdS и ZnSe: CdSe .

Изучение таких систем представляет значительный интерес, т. по литературным данным спектральная зависимость их фоточувствительности сильно зависит от относительной концентрации компонент и может варьироваться в широких пределах^[26].

д) На основе теллурида кадмия. Изучение фотосопротивления этого типа представляет интерес, в основном, из-за их чувствительности в ИК области спектра и в связи с возможностью получить на основе этого соединения эффективные элементы для преобразования солнечной энергии в электрическую.

Люминисценция. Как уже указывалось во вводной части выходит электролюминисценции при использовании "впрыскивания" носителей окисывается значительно большим, чем при использовании эффекта внутренней люминесценции. Тот факт, что слой Кусано не нуждается в диэлектрике-связке и непосредственный контакт электродов с таким слоем может быть осуществлен без серьезных затруднений, позволяет надеяться на получение этого методом эффективных электролюминифоров, в частности, электролюминифоров с внутренними р-п переходами (см. след. раздел).

Б. Изменение знака проводимости в веществах группы сернистого кадмия.

а) Получение р-проводимости. Все вещества этой группы обычно имеют электронную проводимость и долгое время никому не удавалось наблюдать в них появление дырочной проводимости. Однако, как уже указывалось, в последнее время удалось полу-
р-проводимость в чистом виде в монокристаллах теллурида

кадмия^{/1/} установить возможность движения свободных дырок и получить и-р перехода в CdS^{/2/}. Получение дырочной проводимости во всех веществах этой группы в чистом виде и определение характеристик материалов в этом состоянии представляют значительный интерес с точки зрения теории полупроводников. Метод Кусано, повидимому, дает возможность провести ряд опытов в этом направлении (введение активаторов I и У группы периодической системы).

б) Слои с р-п переходами. Метод Кусано дает возможность в процессе изготовления образца произвольным и контролируемым образом изменять состав и концентрацию активаторов. Это позволяет получать в части образца (на некоторой толщине) проводимость одного знака, а на другой его части - проводимость другого знака, т.е. получить образец с р-п переходом. Такие опыты представляют значительный научный интерес и позволяют получить новые типы фотодиодов и солнечных элементов. По имеющимся данным^{«солнечные»} элементы^{из CdS} имеют примерно такую же эффективность преобразования, как и кремниевые, но способны работать при значительно больших освещенностях без насыщения и уменьшения КПД.^{/3/}. Значительный интерес с этой точки зрения могут представить опыты с элементами из теллурия кадмия, т.к. ширина запрещенной зоны в этом соединении близка к оптимальной с точки зрения эффективности преобразования солнечной энергии (теоретический КПД до 20-25%).^{/28/}.

Эти соединения могут оказаться полезными также в опытах по преобразованию энергии ядерных распадов в электрическую

В том случае, если удастся получить переходный слой достаточно широким, можно будет наблюдать процесс лавинного размежения носителем тока в нем при таких напряженостях поля, когда еще не развивается тепловой пробой, разрушающий образование лавин. Это позволит создать фотодиоды с внутренним усилением тока т.е. приборы, представляющие собой "твёрдые фотодиодонители". Такие устройства могли бы найти применение при конструировании чувствительных фотодетекторов, детекторов ядерных излучений, геологопоисковых радиометров и т.п., а также в различных конструкциях усилителей яркости и телевизионных приборах. (См. также следующий раздел).

II. Усилители яркости.

В настоящее время в литературе обсуждаются конструкции усилителей яркости двух типов, принципы устройства которых были описаны в обзорной части этой работы. Первый вариант однослоиный усилитель - с самого начала изготавлялся по методу Кусамо. Наиболее существенными недостатками этого прибора следует считать его большую инерционность, возможность работать при возбуждении лишь УФ частью спектра и невозможность последовательного соединения нескольких усилителей. Дальнейшие разработки должны быть направлены на устранение этих недостатков и могут вестись, например, по следующим направлениям:

а) Подбор нового материала, вероятно на основе соединения кадмия, который был бы чувствительным к более длинноволновой части спектра.

б) Переход на импульсное питание усилителя, т.к. по данным, приведенным в работе^{/17/} инерционность такого усилителя по отношению к сдвигу поля заметно меньше, чем по отношению к изменению интенсивности возбуждающего света.

в) Возможность соединения нескольких каскадов однослойных усилителей яркости быть может окажется возможной при разработке нескольких типов усиливавших слоев со сдвинутыми спектральными характеристиками.

Второй вариант - многослойный усилитель - представляет собой более гибкую конструкцию, но имеет меньшую разрешающую способность по экрану и изготовление достаточно однородных по чувствительности усилителей этого типа с большой площадью встречается со значительными трудностями. Можно рекомендовать следующие направления дальнейших разработок:

а) Получение с помощью метода Кусано фотопроводниковых слоев высокой чувствительности с большим темновым сопротивлением.

б) Получение фотодиодов с большими темновыми сопротивлениями и лавинным размножением носителей зарядов (на основе метода Кусано).

в) Получение достаточно яких электролюминофорных слоев с помощью метода Кусано.

г) Получение с помощью распыления непрозрачных диэлектрических слоев не обладающих фотопроводимостью и не дающих электролюминофорного свечения (для устранения оптической обратной связи в усилителе).

д) Изготовление комплексного прибора.

Такая программа, несомненно, по всей вероятности, сможет обеспечить постройку многослойного усилителя яркости с хорошим разрешением по экрану, с чувствительностью в заданной части спектра и однородной чувствительностью по принимающей поверхности.

Возбуждение усилителей яркости различными видами излучения

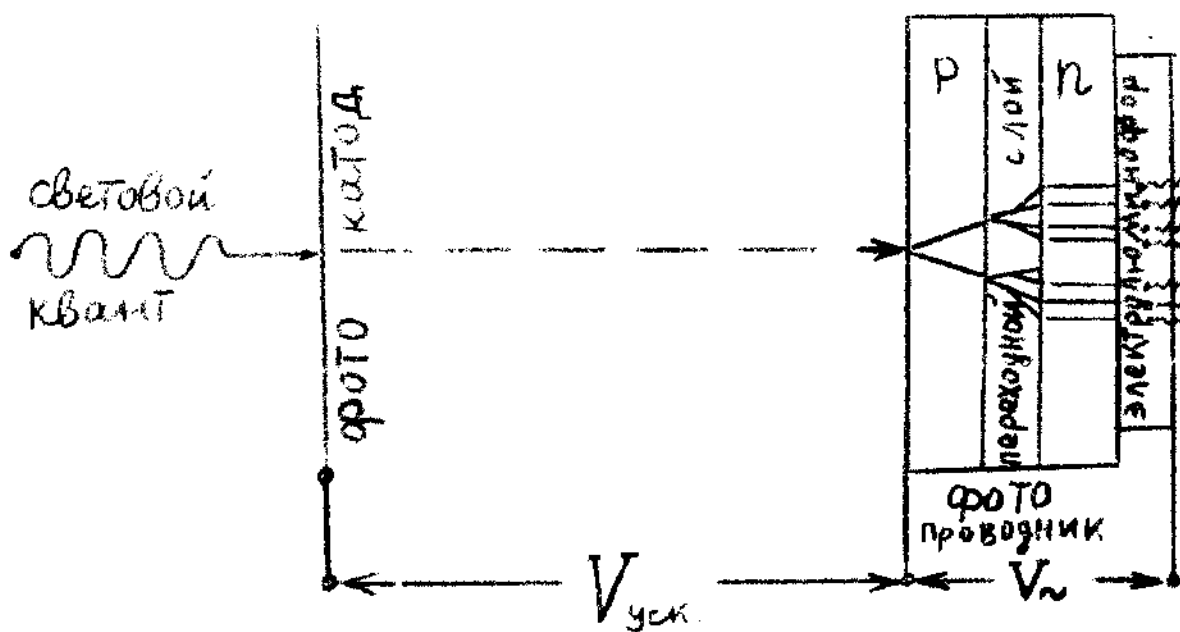
Проведение опытов по возбуждению усилителей яркости радиацией разных типов представляет значительный интерес с точки зрения создания поисковых приборов и дозиметров, приборов, заменяющих фотопленки при снятии радиографов, или сокращающих экспозиции при такой съемке, экранов, позволяющих уменьшить необходимую интенсивность рентгеновских лучей при различного рода обследованиях.

Изучение возбуждения усилителей яркости электронами с энергией в 10-30 киловольт необходимо провести для выяснения возможности создания еще одного типа усилителя яркости, являющегося комбинацией вакуумного электроннооптического преобразователя и полупроводникового усилителя яркости. Схема прибора приведена на рис. I. Такой прибор представляет собой по существу многокаскадный электроннооптический преобразователь и в ряде случаев может конкурировать с современными вакуумными приборами этого класса.

IV. Получение полупроводниковых слоев

Других типов.

Дальнейшим развитием метода Кусако могут явиться опыты по получению полупроводниковых слоев на основе соединений, отличных от рассмотренных в этой работе. В частности, очень боль-



ФИС 1.

СХЕМА КОМБИНИРОВАННОГО УСИЛИТЕЛЯ ЯРКОСТИ.

Фотоэлектрон ускоряется в поле $V_{иск} = 10 - 50$ кв. Тормозясь в поле фотопроводника он создает $\sim 10^3$ пар несигнального заряда, число которых может быть затем сильно увеличено за счет давленного процесса в р-п переходе. Число несигнальных зарядов до электролюминесценции при этом будет в $10^4 - 10^5$ раз больше, чем при непосредственном возбуждении светом полупроводникового усилителя яркости.

шой интерес представляет собой в настоящее время задача изучения полупроводящих интерметаллических соединений /29/ и, частности, изучение свойств р-п переходов в таких соединениях. В определенных пределах ^{эти задачи} может успешно решаться с помощью метода Кусано.

Значительный интерес представляет также исследование возможности получения стим методом фотосопротивлений из P_6S , Ag_2S , Bi_2S_3 и т.д., а также ряда более сложных систем /26/.

У. Получение монокристаллов соединений группы CdS из расплава.

Во последнее время единственным методом получения монокристаллов этой группы, нашедшим практическое применение, являлся метод получения их из газовой фазы. Однако некоторое время назад появилось сообщение /1/ о получении монокристалла теллурида кальция из расплава при медленном охлаждении последнего. Освоение и дальнейшая разработка этого метода в применении ко всем членам семейства CdS также обещает большие перспективы в области создания ряда приборов (например счетчиков нейтральных частиц с малым временем реакции), возможность применения поликристаллических образцов в которых сомнительна.

1. D.Jenny, R.Bube, Phys.Rev. 96, II 190-1191 (1954)
2. Д.Н. Наследов. Вестник АН СССР № 6 за 1957 г. стр.73
3. R.Bube, Proc.IRE, 43, 1836(1955)
4. R.Bube, S.Thomson, Journ.Chem.Phys. 23, 15, 18(1955)
5. P.Goerke, Ann.Phylos. 6, 325(1951)
6. В.Т.Коломиц. ДАН СССР, 82, № 4, 561-563, 1952.
7. R.Bube, J.Appl.Phys. 27, 1237(1956)
8. См.например, D.Reynolds, G.Leies, L.Untex, R.Herburger, Phys.Rev. 96, 533(L)1954.
9. См.например, D.Reynolds, L.Green, L.Untex, J.Chem.Phys. 25, II (1956)
10. См.например, R.Hofstadter, Proc.IRE, 38, 726(1950)
11. См.например, H.Simon, H.Thiel, Ann.Phys. 14, 54(1954)
12. И.Н.Орлов, И.Я.Ламичев. МРТИ. Труды научно-исследовательского института . вып.9(45) за 1957 г., стр.3-63.
13. G.Bestriau, H.Ivey, Proc.IRE, 43, 1911(1955)
14. F.Nicoll, B.Kazan, J.Opt.Soc.Am. 45, 647(1955)
- E.Rothschild, J.Opt.Soc.Am. 46, 662(L)(1956)
15. E.Schwarz, Nature 162, 614(1948)
 Proc.Phys.Soc. 62A, 530(1949); 63B, 614(1950); 64B, 821 (1951)
- P.Görlich, J.Heyne, Optik 4, 206(1948)
- J.Braithwaite, Proc.Phys.Soc. 64B, 274(1951)
16. F.Studer, D.Cusano, J.Opt.Soc.Am. 45, 493(1955)
17. D.Cusano, Phys.Rev. 96, 546(L)(1955)
 D.Cusano, Phys.Rev. 106, 604(L), (1957)
18. R.Aitcison, Austral.J.Appl.Sci. 5, 10(1954)

19. D.Cusano, F.Williams, Gen.Electr.Rev. N5, 20(1956)
20. R.Smith, A.Rose, Phys.Rev. 97, 1525(1955)
- См.также: А.Ф.Нофре "Физика полупроводников", 1957 г. стр. 1
21. H.Michaelson, J.Appl.Phys. 21, 536(1950)
22. V.Walker, E.Lambert, J.Appl.Phys. 28, 635(1957)
23. B.Kazan, F.Nicoll, J.Opt.Soc.Am. 47, 887(1957)
24. G.Diemer, H.Klasens, Philips Research Reports, December 1955
pp.401-424
- B.Kazan, F.Nicoll, Proc.IRE 43, 1888(1955)
25. С.Свечников, В.Александров. ХТФ 27, №5, 919-920, 1957 г.
26. См.например: Н.А.Горюнова, Б.Т.Коломиец. Радиотехника и
электроника I, № 3, 1155-1161, 1956.
27. P.Heerden, Phys.Rev. 106, 468(1957)
28. См.например, В.К.Субашин "Полупроводниковые преобразователи
солнечной энергии". Ленинград, 1956 г.
29. См.например, H.Hrostowski, Bell.Lab.Record 24, 246(1955)
L.Pincherle, J.Radeliffo, Advances in Phys. 2, July (1956)
30. См.например, Н.А.Горюнова, Б.Т.Коломиец ХТФ 25, №6, 984, 1955
ХТФ 25, №1, 13, 1955
ХТФ 26, №6, 1625, 1956